



CAE를 이용한 IC Socket Body Housing의 변형 제어



안홍규*, 정태성*, 유승환*, 허영무**

재영 솔루텍*

한국생산기술연구원**

연구배경 및 목적

■ 연구 배경

- 제품의 품질 향상을 위한 도구로 사출성형 CAE 도입
- 사출성형 CAE를 이용한 품질 향상 방법론의 필요성

■ 연구 목적

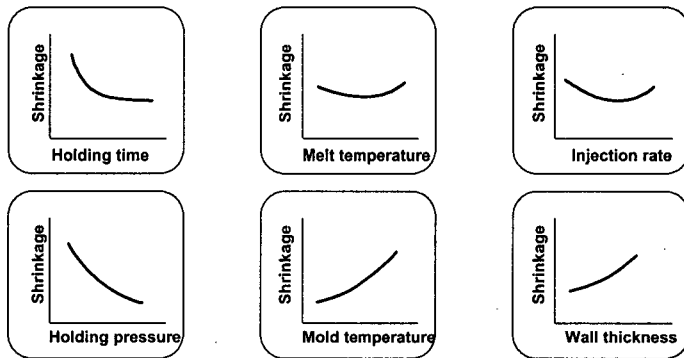
- 사출성형 CAE를 이용한 정밀 제품의 변형 원인 규명
- 사출성형 CAE를 이용한 정밀 제품의 변형 제어

휩에 영향을 주는 인자

■ 휩의 원인

- 냉각의 차이 (Differential cooling)
- 수축량의 차이 (Differential shrinkage)
- 배향에 의한 수축 (Orientation shrinkage)

■ 공정조건이 수축에 미치는 영향



3

휩의 원인별 유형

■ 수축량의 차이(Differential shrinkage)

- 제품내 수축 편차에 의해 발생
- 원인
 - 벽 두께 편차
 - Gate 위치
 - 냉각관 설계/변수
 - 공정조건

■ 배향에 의한 수축(Orientation shrinkage)

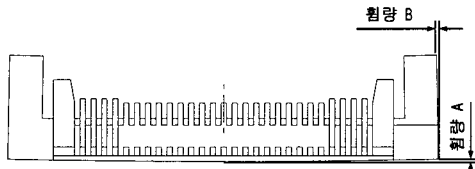
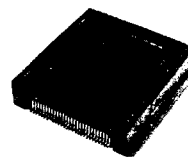
- 흐름의 수직, 수평 방향의 수축량의 차이에 의해 발생
- 원인
 - 배향 (수지, 첨가물)
 - Gate 위치
 - 냉각관 설계/변수
 - 공정조건

4

제품 분석

■ 제품 분석

- 제품 용도 : TSOP 실장용 IC Socket
- 불량내용 : 제품 내 변형 발생으로 인한 형상 불량
- 개선방향 : 바닥면의 흠을 0.03mm 이내로 개선



	침량 A	침량 B
SPEC'	0.030이하	0.030이하
측정경과	0.055~0.062	0.078~0.094

■ CAE 해석 방법

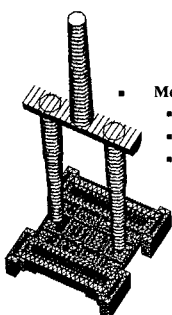
- CAE 해석 대상 품목의 제품에 대한 흠량을 3차원 측정기를 통해서 측정
- 제품의 해석 결과와 3차원 측정 Data를 비교·분석하여 실제 변형량과 해석 결과와의 경향 분석 및 정량적 값을 비교
- 문제점 해결 방안에 대한 해석을 통해서 제품의 흠 발생 경향을 분석
- 금형설계에 적용하여 금형수정 및 제품성형

해석 준비

■ 변형의 원인 파악

- 변형의 원인을 분석하기 위한 사출성형 CAE 진행
- 모든 조건은 양산 조건과 동일하게 설정
- 해석 결과와 양산 제품의 측정 결과를 비교

■ 해석 조건



Mesh information

- No. of Elements : 9,068
- No. of Beams : 159
- No. of Nodes : 4,578

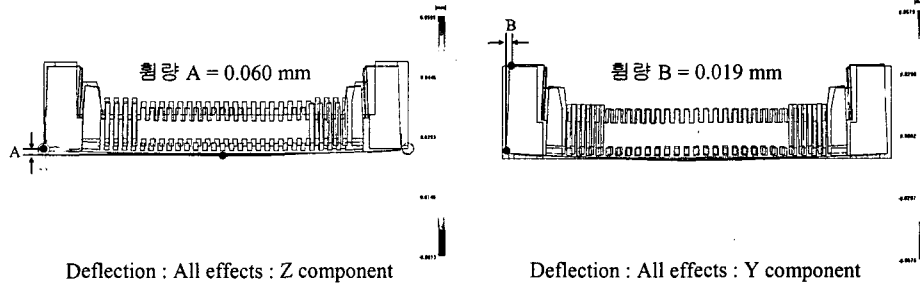
Analysis Conditions :

- Grade : Sumika Super LCP E6006L
- Injection Time : 0.2sec.
- Packing Time : 1sec.
- Cooling Time : 9.8sec. (total ;11sec)
- V/P Switch-over % volume : 99%
- Packing Pressure : 25MPa
- Coolant Temp. : 60 °C
- Melt Temp. : 345 °C

Pre-Processing

휨량

■ CAE 해석 결과 : 휨량



Deflection : All effects : Z component

Deflection : All effects : Y component

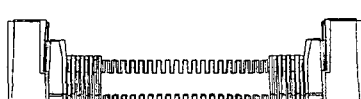
	휨량 A (mm)	휨량 B (mm)
SPEC'	0.03이하	0.03이하
실험결과	0.055~0.062	0.078~0.094
해석결과	0.060	0.019
오차	0.002~0.005	0.059~0.075

해석 결과와 실험결과가 휨의 유형은 유사하지만 휨량의 차이 발생
→ CAE 해석에서 50% 이상 개선해야 실험결과가 SPEC을 만족할 수 있다고 유추

7

휨요인 분석

■ 전체 변형



(max : 0.0608mm)

■ 냉각 차이에 의한 변형



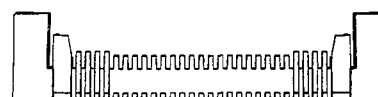
(max : 0.0017mm)

■ 수축량 차이에 의한 변형



(max : 0.0584mm)

■ 배향 효과에 의한 변형



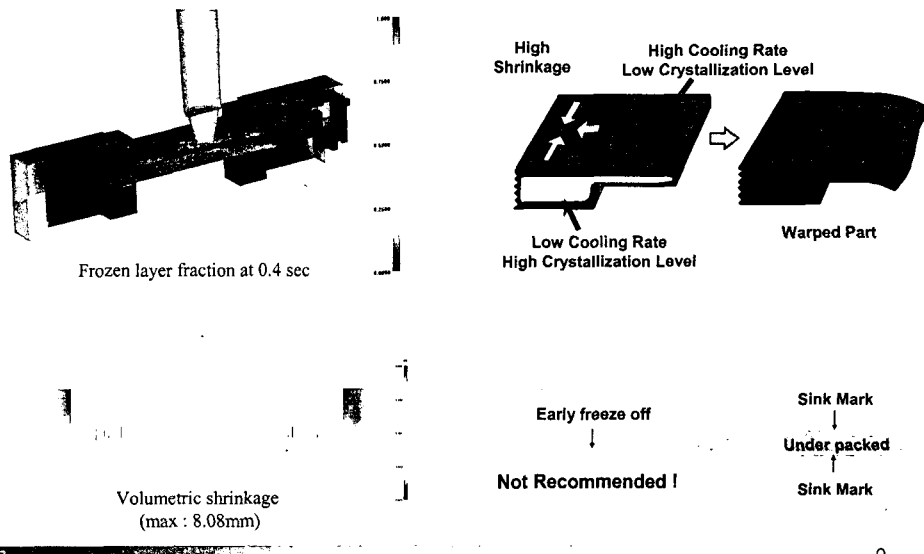
(max : 0.0214mm)

제품 변형의 주요 원인은 수축량 차이와 배향 효과의 차이

8

휨요인 분석

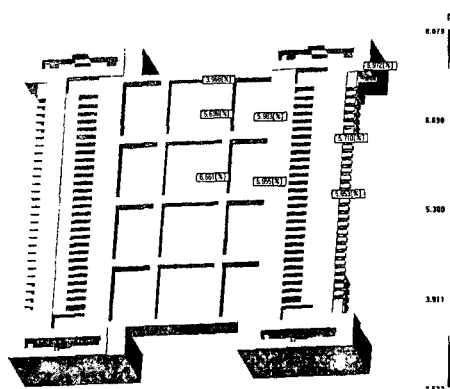
■ 제품 두께 차이에 의한 휨 발생



9

휨요인 분석

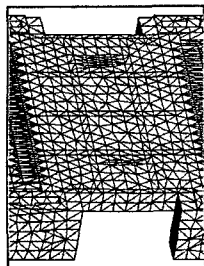
■ 제품 바닥면의 Volumetric shrinkage 분포



전체적으로 바닥면의 Volumetric shrinkage가 다양하게 분포되어 있음.
(Shrinkage 양의 차이가 휨의 주요 원인)

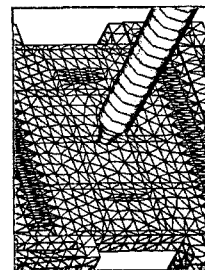
휨 개선 방안

Case 1 → 전체 바닥면의 살빼기 제거



Case 1

→ Case 3의 제품에 게이트를 중앙1점으로 이동



Case 2

Analysis Conditions :

- Grade : Sumika Super LCP E6006L
- Injection Time : 0.2sec.
- Packing Time : 1sec.
- Cooling Time : 9.8sec. (total ;11sec)
- V/P Switch-over % volume : 99%
- Packing Pressure : 25MPa
- Coolant Temp. : 60 °C
- Melt Temp. : 345 °C

휨 요인 분석 (Case 3)

■ 전체 변형



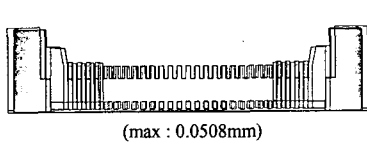
(max : 0.0491mm)

■ 냉각 차이에 의한 변형



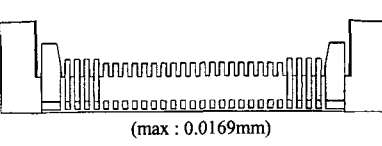
(max : 0.0030mm)

■ 수축량 차이에 의한 변형



(max : 0.0508mm)

■ 배향 효과에 의한 변형



(max : 0.0169mm)

제품 변형의 주요 원인은 수축량 차이와 배향 효과의 차이 – 초기조건 보다 개선

휩 요인 분석 (Case 4)

■ 전체 변형



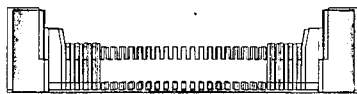
(max : 0.0437mm)

■ 냉각 차이에 의한 변형



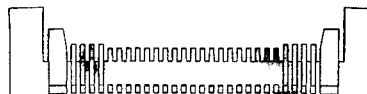
(max : 0.0019mm)

■ 수축량 차이에 의한 변형



(max : 0.05mm)

■ 배향 효과에 의한 변형

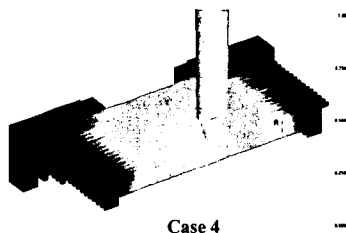
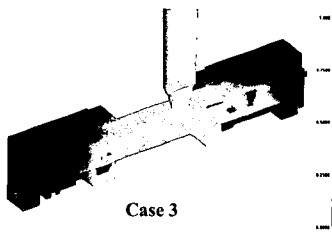


(max : 0.0169mm)

제품 변형의 주요 원인은 수축량 차이와 배향 효과의 차이- 가장 많이 개선

해석결과

■ Frozen layer fraction



■ Volumetric shrinkage

(max : 7.44mm)

Case 3

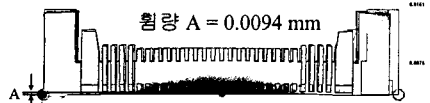
(max : 7.19mm)

Case 4

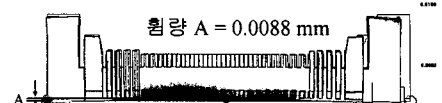
제품 두께의 변화로 보안전달이 원활하여졌고, 전체적인 수축량도 감소

해석결과 - 흡량

- Deflection : Z component

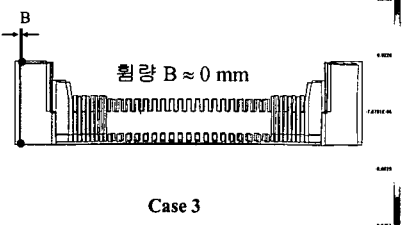


Case 3

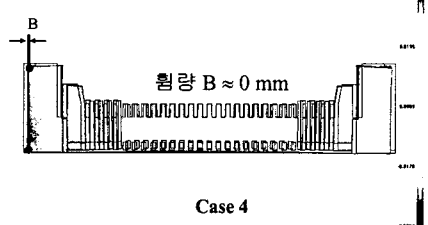


Case 4

- Deflection : Y component



Case 3

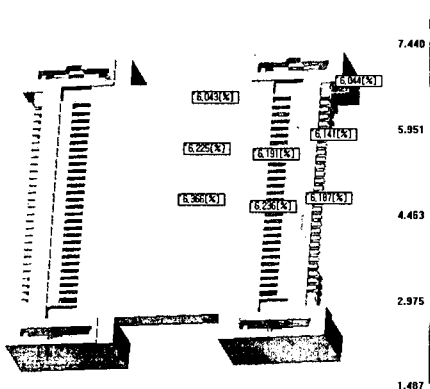


Case 4

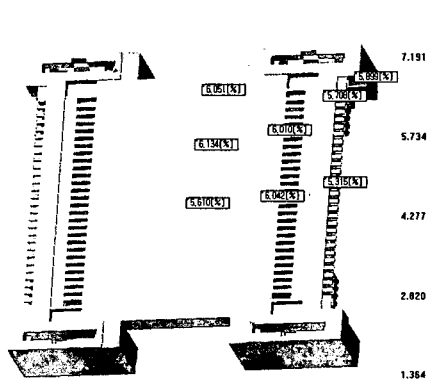
15

해석결과

- 제품 바닥면에 대한 Volumetric shrinkage 분포



Case 3

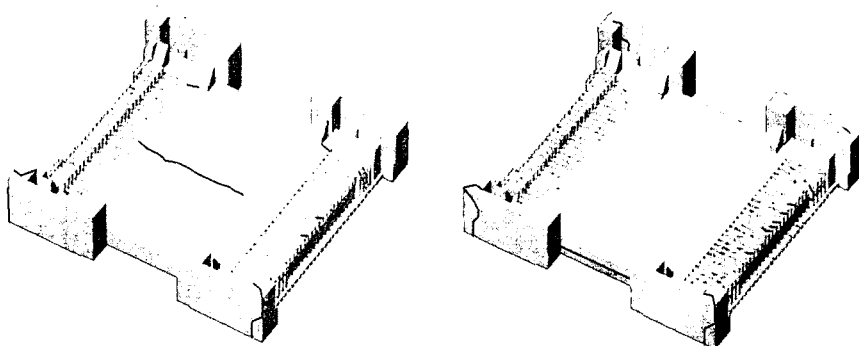


Case 4

16

해석결과

■ Weld line



2 Points gate : initial analysis, Case 1

1 Point Gate : Case 2

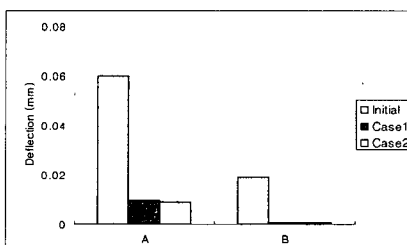
* Gate를 1곳으로 하는 것이 제품 중앙의 weld-line의 생성을 방지

결과

■ 제품의 흐름량

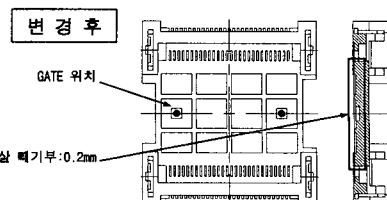
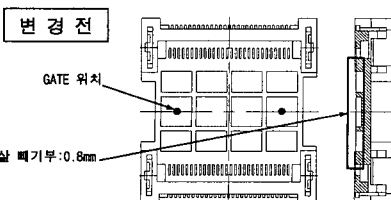
	흐름 A (mm)	흐름 B (mm)
초기 조건	0.060	0.019
Case 1	0.0094	0
Case 2	0.0088	0

- Case 1, Case2의 경우 제품의 흐름량을 상당부분 개선
- Case 2의 경우 흐름량 및 Weld line 개선이 가능하나 금형의 수정이 불가피 함



■ 제품 변경

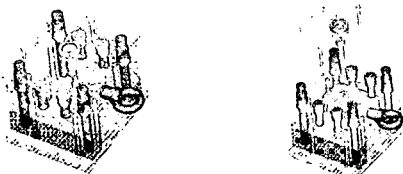
흐름을 제어하면서 금형 수정의 난이도를 고려하여 Case 1 의 결과를 적용 함



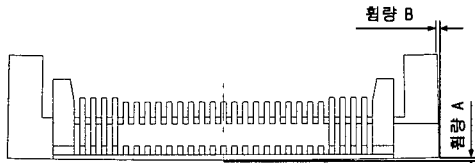
금형수정/제품성형 결과

■ 금형수정

제품 수정에 따른 상코어 일부 수정



■ 사출품의 흐름 개선결과



구분	침량 A (mm)	침량 B (mm)
SPEC'	0.03이하	0.03이하
수정전	0.065~0.062	0.078~0.094
해석결과	0.0094	0
수정후	0.012~0.016	0.021~0.025

◆ 측정 : 3차원 비접촉 측정기, 공구현미경 이용

- CAE 성형 결과를 이용한 제품 성형 결과 제품 Spec 만족
- 해석 결과와 실험과의 오차가 발생하였으나 그 차이는 크지 않음

결론

■ 제품 불량의 원인 규명

- CAE 해석을 통하여 제품의 변형 및 흐름의 원인을 규명
- 사출품의 변형 원인은 보압과정시 충분한 압력이 전달되지 못하여 발생하였다. 따라서 제품전체의 원활한 보압전달로 균일한 수축을 달성

■ 변형 제어

- CAE를 이용하여 제품에 발생되는 흐름을 개선
- 제품의 변형 중 가장 큰 문제가 되었던 것은 z 방향으로의 변형으로써, Case 2의 변형량이 최소이나 Case 1과 큰 차이 없음
- Case 2의 경우 Core 금형의 전체적인 수정이 불가피 하므로 금형의 수정을 최소로 하면서 최대의 효과를 가져 올 수 있는 Case 1를 고려
- Case 1의 경우 Initial Analysis와 z 방향으로의 변형량을 비교할 경우 최대 0.3mm 이하의 처짐량을 갖게 되어 제품의 치수 정밀도를 만족

■ 금형 수정 및 검증

- CAE를 통해 결정된 최적안을 제품 및 금형 수정에 적용
- 실험 결과 제품의 기본 Spec을 만족
- 해석결과와 실험결과의 정성적 값 일치하나 정량적인 값에 차이 발생